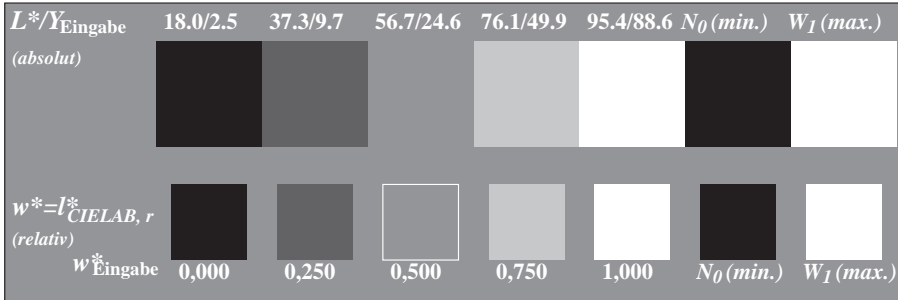
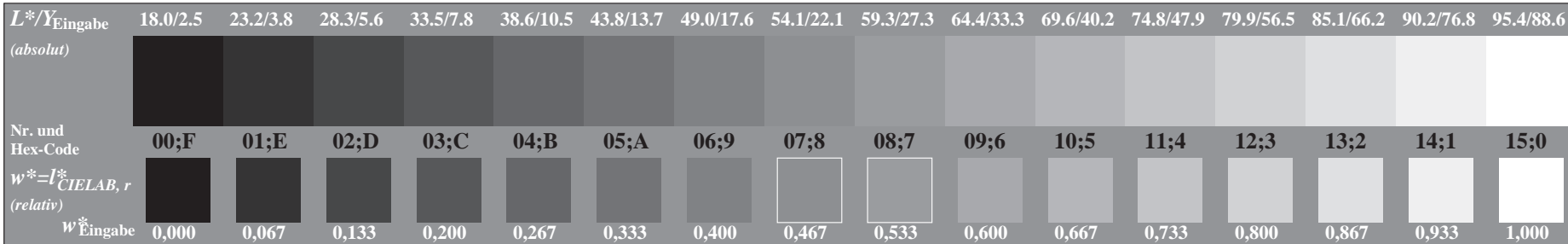




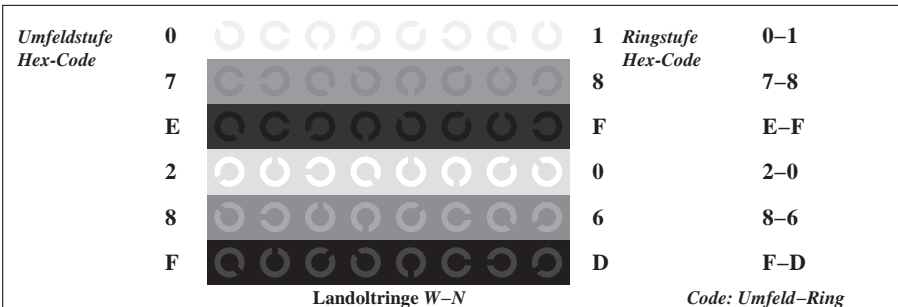
TG730-3, Bild C1Wd: Element A: Radialgitter  $N-W$ ,  $W-N$ ,  $N-Z$  und  $W-Z$ ; PS-Operator:  $rgb/cmy0$



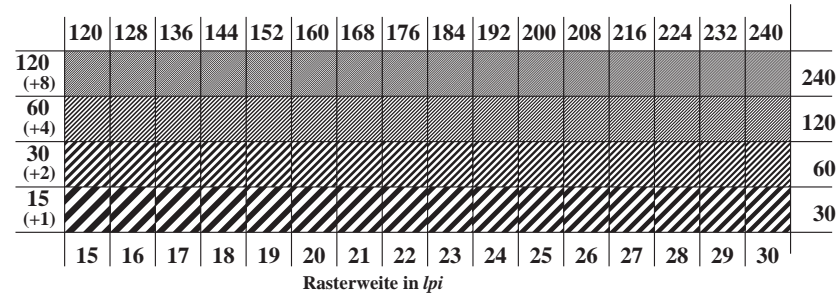
TG730-5, Bild C2Wd: Element B: 5 visuell gleichabständige  $L^*$ -Graustufen +  $N0$  +  $W1$ ; PS-Operator:  $rgb/cmy0$



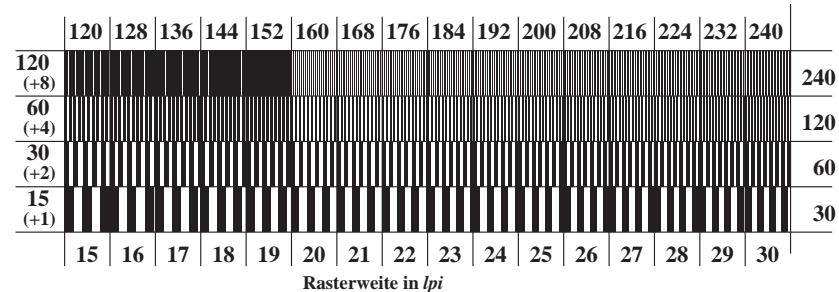
TG730-7, Bild C3Wd: Element C: 16 visuell gleichabständige  $L^*$ -Graustufen; PS-Operator: *rgb/cmy0*



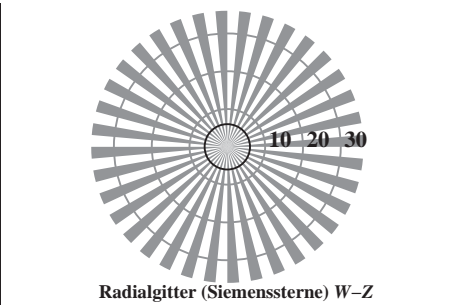
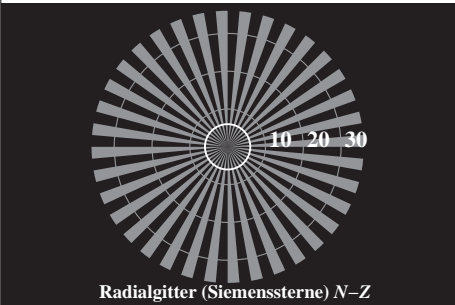
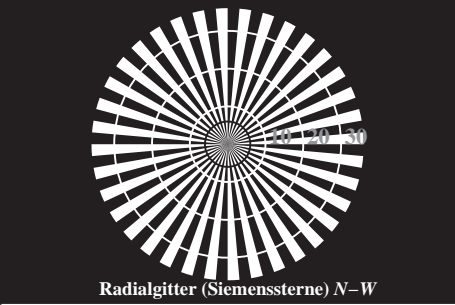
TG731-1, Bild C4Wd: Element D: Landoltringe W-N; PS-Operator: rgb/cmy0



TG731-3, Bild C5Wd: Element E: Linienraster unter 45° (oder 135°); PS-Operator: *rgb/cmy0*



TG731-5, Bild C6Wd: Element F: Linienrastrer unter 90° (oder 0°); PS-Operator: rgb/cmy0



TG730-3, Bild C1We: Element A: Radialgitter N-W, W-N, N-Z und W-Z; PS-Operator: *rgb/cmy0*

$L^*/Y_{\text{Eingabe}}$ (absolut)	18.0/2.5	37.3/9.7	56.7/24.6	76.1/49.9	95.4/88.6	$N_0(\min.)$	$W_I(\max.)$
$w^*=I^*_{CIELAB, r}$ (relativ)							
$w^*_{\text{Eingabe}}$	0,000	0,250	0,500	0,750	1,000	$N_0(\min.)$	$W_I(\max.)$

TG730-5, Bild C2We: Element B: 5 visuell gleichabständige  $L^*$ -Graustufen +  $N_0$  +  $W_I$ ; PS-Operator: *rgb/cmy0*

$L^*/Y_{\text{Eingabe}}$ (absolut)	18.0/2.5	23.2/3.8	28.3/5.6	33.5/7.8	38.6/10.5	43.8/13.7	49.0/17.6	54.1/22.1	59.3/27.3	64.4/33.3	69.6/40.2	74.8/47.9	79.9/56.5	85.1/66.2	90.2/76.8	95.4/88.6
Nr. und Hex-Code	00;F	01;E	02;D	03;C	04;B	05;A	06;9	07;8	08;7	09;6	10;5	11;4	12;3	13;2	14;1	15;0
$w^*=I^*_{CIELAB, r}$ (relativ)																
$w^*_{\text{Eingabe}}$	0,000	0,067	0,133	0,200	0,267	0,333	0,400	0,467	0,533	0,600	0,667	0,733	0,800	0,867	0,933	1,000

TG730-7, Bild C3We: Element C: 16 visuell gleichabständige  $L^*$ -Graustufen; PS-Operator: *rgb/cmy0*

Umfeldstufe Hex-Code	0	7	E	2	8	F
Ringstufe Hex-Code	0-1	7-8	E-F	2-0	8-6	F-D
Landoltringe W-N						
Code: Umfeld-Ring						

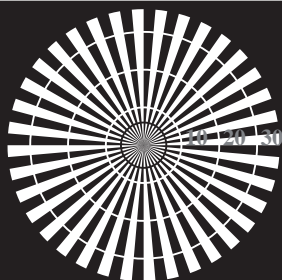
TG731-1, Bild C4We: Element D: Landoltringe W-N; PS-Operator: *rgb/cmy0*

	120	128	136	144	152	160	168	176	184	192	200	208	216	224	232	240	
120 (+8)																	240
60 (+4)																	120
30 (+2)																	60
15 (+1)																	30
	15	16	17	18	19	20	21	22	23	24	25	26	27	28	29	30	
Rasterweite in lpi																	

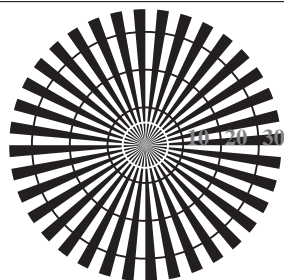
TG731-3, Bild C5We: Element E: Linienraster unter 45° (oder 135°); PS-Operator: *rgb/cmy0*

	120	128	136	144	152	160	168	176	184	192	200	208	216	224	232	240	
120 (+8)																	240
60 (+4)																	120
30 (+2)																	60
15 (+1)																	30
	15	16	17	18	19	20	21	22	23	24	25	26	27	28	29	30	
Rasterweite in lpi																	

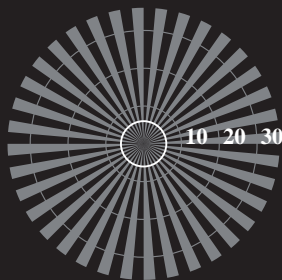
TG731-5, Bild C6We: Element F: Linienraster unter 90° (oder 0°); PS-Operator: *rgb/cmy0*



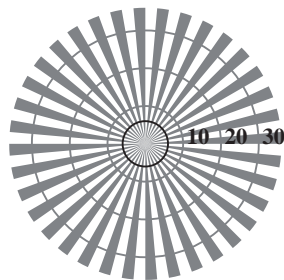
Radialgitter (Siemenssterne) N-W



Radialgitter (Siemenssterne) W-N



Radialgitter (Siemenssterne) N-Z



Radialgitter (Siemenssterne) W-Z

TG730-3, Bild C1Wdd: Element A: Radialgitter N-W, W-N, N-Z und W-Z; PS-Operator: *rgb/cmy0*

$L^*/Y_{\text{vorgesehen}}$ (absolut)	18.0/18.0	37.3/37.3	56.7/56.7	76.1/76.0	95.4/95.4	$N_0(\min.)$	$W_I(\max.)$
$w^*=I^*_{\text{CIELAB}, r}$ (relativ)							
$w^*_{\text{Eingabe}}$ $w^*_{\text{Ausgabe}}$	0,000	0,250	0,500	0,750	1,000	$N_0(\min.)$	$W_I(\max.)$

TG730-5, Bild C2Wdd: Element B: 5 visuell gleichabständige  $L^*$ -Graustufen +  $N_0$  +  $W_I$ ; PS-Operator: *rgb/cmy0*

$L^*/Y_{\text{vorgesehen}}$ (absolut)	18.0/18.0	23.2/23.2	28.3/28.3	33.5/33.5	38.6/38.6	43.8/43.8	49.0/49.0	54.1/54.1	59.3/59.3	64.4/64.4	69.6/69.6	74.8/74.8	79.9/79.9	85.1/85.1	90.2/90.2	95.4/95.4
Nr. und Hex-Code	00;F	01;E	02;D	03;C	04;B	05;A	06;9	07;8	08;7	09;6	10;5	11;4	12;3	13;2	14;1	15;0
$w^*=I^*_{\text{CIELAB}, r}$ (relativ)																
$w^*_{\text{Eingabe}}$ $w^*_{\text{Ausgabe}}$	0,000	0,067	0,133	0,200	0,267	0,333	0,400	0,467	0,533	0,600	0,667	0,733	0,800	0,867	0,933	1,000

TG730-7, Bild C3Wdd: Element C: 16 visuell gleichabständige  $L^*$ -Graustufen; PS-Operator: *rgb/cmy0*

Umfeldstufe Hex-Code	0	7	E	2	8	F
Ringstufe Hex-Code	1	8	F	0	6	D
	0-1	7-8	E-F	2-0	8-6	F-D

Landoltringe W-N

Code: Umfeld-Ring

TG731-1, Bild C4Wdd: Element D: Landoltringe W-N; PS-Operator: *rgb/cmy0*

	120	128	136	144	152	160	168	176	184	192	200	208	216	224	232	240	
120 (+8)																	240
60 (+4)																	120
30 (+2)																	60
15 (+1)																	30
	15	16	17	18	19	20	21	22	23	24	25	26	27	28	29	30	

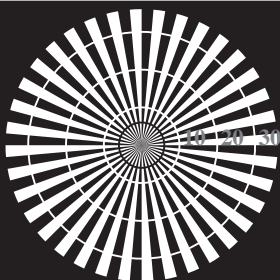
Rasterweite in lpi

TG731-3, Bild C5Wdd: Element E: Linienraster unter 45° (oder 135°); PS-Operator: *rgb/cmy0*

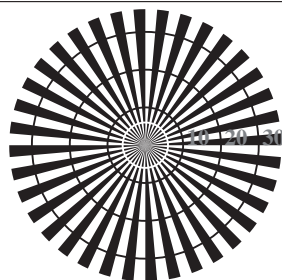
	120	128	136	144	152	160	168	176	184	192	200	208	216	224	232	240	
120 (+8)																	240
60 (+4)																	120
30 (+2)																	60
15 (+1)																	30
	15	16	17	18	19	20	21	22	23	24	25	26	27	28	29	30	

Rasterweite in lpi

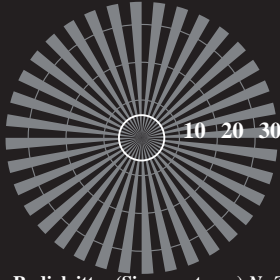
TG731-5, Bild C6Wdd: Element F: Linienraster unter 90° (oder 0°); PS-Operator: *rgb/cmy0*



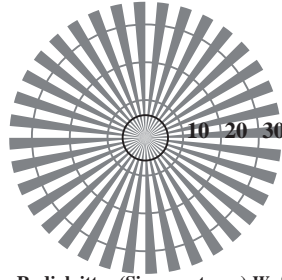
Radialgitter (Siemenssterne) N-W



Radialgitter (Siemenssterne) W-N



Radialgitter (Siemenssterne) N-Z



Radialgitter (Siemenssterne) W-Z

TG730-3, Bild C1Wde: Element A: Radialgitter N-W, W-N, N-Z und W-Z; PS-Operator: *rgb/cmy0*

$L^*/Y_{\text{vorgesehen}}$ (absolut)	18.0/18.0	37.3/37.3	56.7/56.7	76.1/76.0	95.4/95.4	$N_0(\min.)$	$W_I(\max.)$
$w^*=I^*_{\text{CIELAB}, r}$ (relativ)							
$w^*_{\text{Eingabe}}$ $w^*_{\text{Ausgabe}}$	0,000	0,250	0,500	0,750	1,000	$N_0(\min.)$	$W_I(\max.)$

TG730-5, Bild C2Wde: Element B: 5 visuell gleichabständige  $L^*$ -Graustufen +  $N_0$  +  $W_I$ ; PS-Operator: *rgb/cmy0*

$L^*/Y_{\text{vorgesehen}}$ (absolut)	18.0/18.0	23.2/23.2	28.3/28.3	33.5/33.5	38.6/38.6	43.8/43.8	49.0/49.0	54.1/54.1	59.3/59.3	64.4/64.4	69.6/69.6	74.8/74.8	79.9/79.9	85.1/85.1	90.2/90.2	95.4/95.4
Nr. und Hex-Code	00;F	01;E	02;D	03;C	04;B	05;A	06;9	07;8	08;7	09;6	10;5	11;4	12;3	13;2	14;1	15;0
$w^*=I^*_{\text{CIELAB}, r}$ (relativ)																
$w^*_{\text{Eingabe}}$ $w^*_{\text{Ausgabe}}$	0,000	0,067	0,133	0,200	0,267	0,333	0,400	0,467	0,533	0,600	0,667	0,733	0,800	0,867	0,933	1,000

TG730-7, Bild C3Wde: Element C: 16 visuell gleichabständige  $L^*$ -Graustufen; PS-Operator: *rgb/cmy0*

Umfeldstufe Hex-Code	0	7	E	2	8	F
Ringstufe Hex-Code	1	8	F	0	6	D
	0-1	7-8	E-F	2-0	8-6	F-D

Landoltringe W-N

Code: Umfeld-Ring

TG731-1, Bild C4Wde: Element D: Landoltringe W-N; PS-Operator: *rgb/cmy0*

	120	128	136	144	152	160	168	176	184	192	200	208	216	224	232	240	
120 (+8)																	240
60 (+4)																	120
30 (+2)																	60
15 (+1)																	30
	15	16	17	18	19	20	21	22	23	24	25	26	27	28	29	30	

Rasterweite in lpi

TG731-3, Bild C5Wde: Element E: Linienraster unter 45° (oder 135°); PS-Operator: *rgb/cmy0*

	120	128	136	144	152	160	168	176	184	192	200	208	216	224	232	240	
120 (+8)																	240
60 (+4)																	120
30 (+2)																	60
15 (+1)																	30
	15	16	17	18	19	20	21	22	23	24	25	26	27	28	29	30	

Rasterweite in lpi

TG731-5, Bild C6Wde: Element F: Linienraster unter 90° (oder 0°); PS-Operator: *rgb/cmy0*